

سنتر نانوکامپوزیت مغناطیسی $\text{Ba}_{0.2}\text{Sr}_{0.2}\text{La}_{0.6}\text{MnO}_3/\text{MWCNT}$ و بررسی خواص ساختاری، مغناطیسی و مقایسه جذب امواج ریزموج آن با $\text{Ba}_{0.2}\text{Sr}_{0.2}\text{La}_{0.6}\text{MnO}_3$ در محدوده فرکانسی باند X

سیدسلمان سیدافقه‌ی^{۱*} | رضا پیمان فر^۲ | شهرزاد جوانشیر^۲ | عبدالله جاویدان^{۵,۴}

۱. دانشکده و پژوهشکده فنی و مهندسی دانشگاه جامع امام حسین (ع)

۲. دانشکده شیمی دانشگاه علم و صنعت ایران

۳. دانشگاه آزاد اسلامی، واحد ساوه، باشگاه پژوهشگران جوان و تحیگان، ساوه

۴. دانشکده علوم پایه دانشگاه جامع امام حسین (ع)

۵. واحد علوم دارویی، دانشگاه آزاد اسلامی تهران

چکیده

مناسبی در ناحیه X است، لیکن خاصیت جذب کامپوزیت آن با نانولوله‌های کربنی چنددیواره‌ای به طور قابل توجهی افزایش یافته است.

واژگان کلیدی: جاذب امواج ریزموج، سل-ژل،
نانوکامپوزیت مغناطیسی، نانولوله‌ی کربنی

۱ مقدمه

امروزه تداخل امواج الکترومغناطیسی بعنوان نوع جدیدی از آلودگی شناخته شده است که ناشی از گسترش روزافزون استفاده از تجهیزات الکترونیکی در بخش‌های مختلفی همچون بخش‌های صنعتی، دفاعی و بهداشت و درمان می‌باشد. برای حفاظت و جلوگیری از جذب این امواج توسط بدن در برابر اغتشاشات امواج الکترومغناطیسی در زمینه زیست محیطی و در زمینه نظامی جهت استثمار تجهیزات نظامی از دید رادارها این انواع جاذب‌ها کاربرد فراوانی دارند. در این راستا در سال‌های اخیر ارائه انواع ابزارهای حفاظتی با توانایی جذب امواج ریزموج بیش از ۱۰ dB با پهنای باند مناسب در ناحیه X بسیار مورد توجه بوده است و در بسیاری از کشورهای پیشرفته بررسی جذب امواج ریزموج با عملکرد بالا از موضوعات مهم به شمار می‌رود [۱]. انواع جاذب‌های امواج ریزموج سنتی عبارتند از: پودرهای فلزی، الیاف رسانای مغناطیسی، نانوذرات مغناطیسی، نانولیاف و فیبرها می‌باشد. این جاذب‌ها مزایا و معایبی دارند که از جمله معایب آنها می‌توان به وزن مخصوص بزرگ، پهنای باند کم برای جذب [۲ و ۳] و ضعف عملکرد در دمای بالا اشاره کرد. برای رفع نیازهای موجود می‌توان از کربن به عنوان نوع جدید جاذب، برای

در این تحقیق نانوکامپوزیت مغناطیسی چندعنصره بر پایه نانولوله‌های کربنی چند دیواره عامل‌دار شده $\text{Ba}_{0.2}\text{Sr}_{0.2}\text{La}_{0.6}\text{MnO}_3/\text{MWCNT}$ و پهنهای نوار جذبی در محدوده فرکانس X امواج ریزموج استفاده شد. ابتدا نانوذره مغناطیسی MnO_3 و $\text{Ba}_{0.2}\text{Sr}_{0.2}\text{La}_{0.6}$ به روش سل-ژل سنتز شد. سپس سطح نانولوله‌های کربنی با استفاده از مخلوط ۳ به ۱ سولفوریک/نیتریک اسید تحت امواج فرماحت و همزن مکانیکی به طور همزمان، باگروه‌های عاملی کربوکسیلیک عامل‌دار شدند. در مرحله بعد نانولوله‌های کربنی عامل‌دار شده با استفاده از پلیمر پلی متیل متاکریلات در کوره‌ی گاز آرگون با نانوذرات مغناطیسی پوشش داده شدند. ساختار بلوری و مورفلوژی نانوذره سنتز شده و پوشش دهنده مناسب نانولوله‌های کربنی با این نانوذرات به کمک FESEM,XRD,VSM,FTIR بررسی و تایید شد. در نهایت، نمونه‌های جاذب با پخش کردن مناسب نانوذره مغناطیسی و نانوکامپوزیت در پلی اورتان بوسیله امواج فرماحت آماده و میزان جذب یا افت انعکاس ۸/۲-۱۲/۴ GHz بررسی شد. نانوذره $\text{Ba}_{0.2}\text{Sr}_{0.2}\text{La}_{0.6}\text{MnO}_3$ دارای بیشینه افت انعکاس ۱۴/۴۶ dB در ناحیه ۱۰/۷۴ GHz در ناحیه ۱/۷۲ GHz جذب بیش از ۱۰ dB دارد. با پهنای باند $\text{Ba}_{0.2}\text{Sr}_{0.2}\text{La}_{0.6}\text{MnO}_3/\text{MWCNT}$ دارای جذب ۲۲/۹۷ dB امواج ریزموج در ناحیه ۱۱/۴۵ GHz و با پهنای باند ۲/۲۹ GHz جذب بیش از ۱۰ dB می‌باشد. این نتایج نشان می‌دهد اگر چه نانوذره سنتز شده $\text{Ba}_{0.2}\text{Sr}_{0.2}\text{La}_{0.6}\text{MnO}_3$ خود به تنها یک دارای خاصیت جذب امواج ریزموج بوده و جاذب

از Z_0 و Z_{in} امپدانس فضای آزاد همچنین مقدار Z_{in} از رابطه‌ی $Z_{in} = \sqrt{\frac{\mu_r}{\epsilon_r}} \tanh \left[j \frac{2\pi}{c} \sqrt{\mu_r \epsilon_r} fd \right]$ اندازه‌گیری می‌شود که در آن، f فرکانس، d قطر جاذب، c سرعت نور و μ_r و ϵ_r به ترتیب نفوذپذیری مغناطیسی و الکتریکی می‌باشد. با توجه به رابطه‌ی ریاضی μ_r و ϵ_r در این کار به بررسی کامپوزیتی با این خواص پرداخته شد. از سویی دیگر، استفاده از عناصر متنوع در ساختار نانوذرات باعث کاهش اثر آنیزوتropی بلور نانوذره و در نتیجه اثر رزونانس مغناطیسی که در جذب امواج موثر است می‌شود، ولی از طرف دیگر این عناصر خود، دارای خاصیت جذب امواج هستند به طوری که با کاهش سایز نانوذرات، احتمال حضور عناصر متنوع بیشتری در سطح هر بلور با حالت‌های کوئردینانسی غیر اشبع متفاوت به وجود می‌آید. هر چه این پراکندگی بیشتر باشد تاثیر دوقطبی‌های مغناطیسی بر یکدیگر، بیشتر قطبش سطح بیشتر می‌شود که براین‌کل نانوذرات باعث میرایی امواج می‌شود، برای این پراکندگی و کاهش سایز و یکنواختی بلور نانوذرات و پخش مناسب نانوذرات در سطح نانوتیوب‌های کربنی در این کار از پلی‌متیل‌متاکریلات استفاده شد که اثر قطبش عناصر موجود در دیواره بلور در کنار اثر رزونانس مغناطیسی نانوذرات در کنار خاصیت الکتریکی نانوتیوب‌های کربنی باعث افزایش جذب امواج شود [۱۸-۲۰].

۲ بخش تجربی

مواد و تجهیزات

در این تحقیق از نیترات لانتانیوم (مرک)، نیترات باریم (مرک)، نیترات استرانسیم (مرک)، نیترات منگنز (مرک)، اسید سیتریک (مرک)، آمونیاک (مرک)، اوره (مرک) و کوره الکتریکی (VECSTAR FURNACES) برای تهیه نانوذره مغناطیسی استفاده شد. برای کربوکسیل دار کردن نانولوله‌های کربنی و تهیه نانوکامپوزیت مغناطیسی و نمونه‌های جاذب امواج ریزموج از نانولوله‌های کربنی چند دیواره با قطر nm ۲۰-۱۰ و طول ۳۰ μm (شرکت نوتربینو)، اسید نیتریک (مرک)، اسید سولفوریک (مرک)، پلی‌متیل‌متاکریلات (سیگما)، پلی‌اورتان و سخت‌کننده ALC 4232-D (Huntsman 5075 A)، دستگاه سانتریفیوژ (STIRRER)، همزن مکانیکی (CENTRIFUGE 5300 rpm)، کوره آرگون (DLS VELP TBF7E5C200)، ساخت ایده آل و کیوم BANDELIN SONOREX DIGITEC DT و حمام فراصوت (BANDELIN SONOREX DIGITEC DT) استفاده شد.

نازکی، سبکی، قدرت جذب و پهنانی باند جذب استفاده نمود. بر اساس مکانیزم جذب امواج جاذب عموماً به دو صورت کاهش دی الکتریک و کاهش مغناطیس عمل می‌کنند که بیشتر جاذب‌های کربنی از نوع اول می‌باشند. از این‌رو ساخت نانوذرات مغناطیسی با عناصر مختلف که این خاصیت را دارند بسیار مورد توجه قرارگرفته است. بیشتر مواد کربنی مورد بررسی عبارتند از گرافیت [۴] نانوالیاف کربنی [۵-۷] و نانولوله‌های کربنی [۹-۸]. اگرچه نانولوله‌های کربنی عملکرد بهتری در مقایسه با بقیه دارند [۱۰] ولی از الیاف کربنی به دلیل هزینه‌ی کمتر برای تولید و آماده‌سازی بیشتر استفاده می‌شود [۱۱]. نانولوله‌های کربنی دارای خواص مکانیکی، الکتریکی و گرمایی بسیار خوبی هستند که وابسته به قطر و کایرالیته نانولوله‌ها (نانولوله‌های تک‌جداره یا حتی چند‌جداره) می‌باشد [۱۲]. مواد مناسب جذب، باید توانایی جذب طول موج گسترده در امواج رادیوئی، جذب قوی، وزن سبک، ضخامت نازک داشته باشند. همچنین موادی که خواص فیزیکی و شیمیایی مناسب و روش بهره‌برداری مساعدتری دارند ترجیح داده می‌شوند [۱۳-۱۴].

لیو و همکارانش نانوذره $\text{Sr}_{0.4}\text{La}_{0.6}\text{MnO}_3$ را به روش سل-ژل سنتز کرده و برای تقویت جذب امواج از پلیمر رسانای پلی‌آنیلین برای پوشش نانوکامپوزیت استفاده کردند [۱۵] در ادامه کار پژوهشی قبلی [۱۶] در این تحقیق به بهینه‌سازی شرایط و تغییر در روش کار شامل: اصلاح روش سل-ژل در کامپوزیت‌شدن نانوذرات مغناطیسی و نانوتیوب کربنی با استفاده از کوره آرگون و پلی‌متیل‌متاکریلات همچنین استفاده از پلی‌اورتان برای تهیه قرص جاذب و سایر عوامل تاثیرگذار در تقویت جذب امواج ریزموج پرداخته شد.

نانولوله‌های کربنی را می‌توان به روش‌های مختلفی از جمله سل-ژل سنتی [۱۷] و اصلاح شده [۱۸-۱۹] بوسیله‌ی نانوذرات مغناطیسی پوشش داد. در این تحقیق ابتدا نانوذرات مغناطیسی به روش سل-ژل سنتی ساخته شدند [۱۵] سپس نانولوله‌های کربنی عامل دار شده به روش سل-ژل اصلاح شده با نانوذرات مغناطیسی پوشش داده شدند و آنالیزهای FESEM، XRD، VSM، FTIR، و میزان افت امواج الکترومغناطیسی در مراحل مختلف سنتز برای بررسی صحت کار مورد استفاده قرارگرفت. به طور کلی افت انعکاس امواج ریزموج مواد به امپدانس ماده مرتبط است که

$$\text{از رابطه‌ی } R (\text{dB}) = 20 \log \left| \frac{Z_{in} - Z_0}{Z_{in} + Z_0} \right| \text{ بررسی می‌شود.}$$

تهییهٔ نانوکامپوزیت $\text{Ba}_{0.2}\text{Sr}_{0.2}\text{La}_{0.6}\text{MnO}_3/\text{MWCNT}$ به روش سل-ژل اصلاح شده در سیستم هسته پوسته با استفاده از پلیمر PMMA

در مرحله‌ی اول، نانولوله‌های کربنی به نسبت حجمی ۳ به ۱ اسید نیتریک به سولفوریک به مدت ۸ ساعت تحت امواج فراصوت و همزن مکانیکی کربوکسیل دار شد. سپس تا رسیدن به pH حدود ۷، چندین بار با آب دیونیزه شسته، سانتریفوژ و در دمای 50°C به مدت ۱۲ ساعت خشک شد. برای تهییهٔ ۱۰٪ وزنی نانوذره ابتدا مقدار لازم نانولوله‌ی کربنی چند دیواره‌ی عامل دار شده داخل آب دیونیزه بوسیله‌ی حمام فراصوت به مدت ۳۰ دقیقه پخش شد. سپس تحت همزن شدید مغناطیسی $\text{H}_\text{B} \text{Ba}_{0.2}\text{Sr}_{0.2}\text{La}_{0.6}\text{MnO}_3$ محلول در حدود ۱۰ تنظیم شد. نانوذره‌ی $\text{Ba}_{0.2}\text{Sr}_{0.2}\text{La}_{0.6}\text{MnO}_3$ به همراه مقدار کمی پودر پلی‌متیل‌متاکریلات به محلول اضافه شد و به مدت ۶۰ دقیقه تحت امواج فراصوت قرار گرفت، سپس محلول تحت همزن مغناطیسی تا دمای ۸۰ درجه‌ی سانتی‌گراد گرم شد و در این دما باقی‌ماند تا به طور کامل خشک شد. درنهایت نمونه خشک شده در دمای ۵۰۰ درجه‌ی سانتی‌گراد به مدت ۱ ساعت داخل کوره تحت اتمسفر آرگون قرار گرفت و نانوکامپوزیت $\text{Ba}_{0.2}\text{Sr}_{0.2}\text{La}_{0.6}\text{MnO}_3/\text{MWCNT}$ تشکیل شد.

تهییهٔ قرص جاذب امواج ریزموج با استفاده از پلی‌اورتان
در این تحقیق از پلی‌اورتان به عنوان عامل پخش‌کننده نانومواد و بستر برای قالب‌گیری و اندازه‌گیری جذب امواج استفاده شد، برای تهییهٔ نسبت ۳۰ درصد وزنی نانومواد سنتز شده به پلی‌اورتان، ابتدا مقدار لازم رزین پلی‌اورتان به همراه نانوماده مورد نظر به مدت ۵ دقیقه توسط همزن مکانیکی با دور 800 rpm هم‌زده شد و پس از آنکه ۳۰ دقیقه در حمام فراصوت قرار گرفت، مواد سخت کننده نیز اضافه شد. پس از ۵ دقیقه هم‌خوردن، نمونه به مدت ۲ دقیقه در حمام فراصوت تحت امواج فراصوت قرار گرفت و سپس در دمای ۵۰ درجه‌ی سانتی‌گراد قالب‌گیری و برای جذب آماده شد.

۳ نتایج و بحث بررسی طیف‌های IR

با توجه به شکل ۱ در طیف‌های IR، a و b باندهای جذبی در ناحیه 605 cm^{-1} مربوط به ارتعاشات اکسیدهای فلزی O-Mn-O و O-Sr-O و O-La-O بوده که در طیف a نشانگر تشکیل

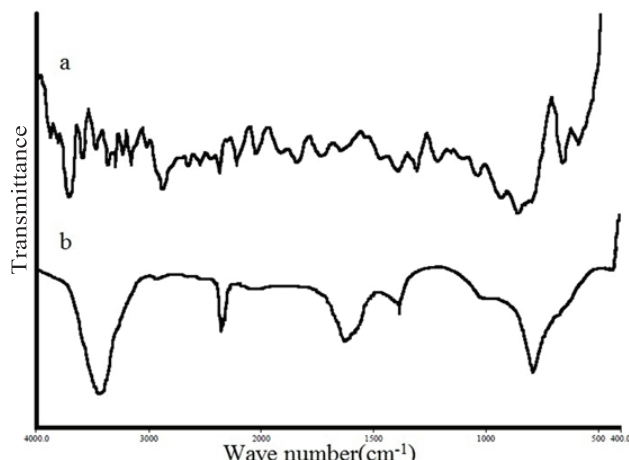
طرح پراش پرتو ایکس نمونه‌ها با استفاده از دستگاه مرکز نانوی کفا (XRD, X'Pert, Pro MPD, PAAnalytical) در محدوده $20^\circ = 10-80$ درجه بررسی شد و میانگین اندازه‌ی ذرات با استفاده از رابطه شرر با استفاده از داده‌های حاصل از XRD محاسبه شد. به منظور مشاهده سطح و مورفولوژی نانوذرات مغناطیسی (Hitachi S-4160 FESEM دستگاه) دانشگاه تهران و برای تصاویر نانوکامپوزیت مغناطیسی از دستگاه (پژوهشگاه رازی استفاده شد).

طیف‌های IR برای شناسایی پیوندها و گروه‌های عاملی موجود در نمونه‌ها بوسیله‌ی دستگاه (Perkin Elmer RX1) در نمونه‌ها آزاد ساوه گرفته شد. برای تهییه قرص‌های شفاف نمونه‌ها از نمک پتاسیم برمید (مرک) و دستگاه پرس ۱۵ تن استفاده شد. خواص مغناطیسی در دمای اتاق در میدان 10000 Oe تا 10000 Oe در فرکانس 25 Hz با دستگاه (Vibrating Sample Magnetometer) دانشگاه کاشان اندازه‌گیری شد. در آخر، جذب امواج ریزموج در مراحل مختلف سنتز نانوکامپوزیت با دستگاه (Agilent Technologies, model 8722) دانشگاه امام حسین (^ع) در دمای اتاق و فرکانس $8/4-12/4\text{ GHz}$ $8/2-12/4$ اندازه‌گیری شدند.

روش آزمایش

تهییهٔ نانوذره‌ی مغناطیسی $\text{Ba}_{0.2}\text{Sr}_{0.2}\text{La}_{0.6}\text{MnO}_3$ به روش سل-ژل
برای تهییهٔ نانوذره‌ی $\text{Ba}_{0.2}\text{Sr}_{0.2}\text{La}_{0.6}\text{MnO}_3$ به استوکیومتری، نمک نیترات از عناصر La و Mn، Sr و Ba در مقدار مناسب آب مقطور روی همزن مغناطیسی با سرعت چرخش شدید، حل شد سپس به نسبت مولی ۱ به ۱ با کاتیون‌های فلزی اسید سیتریک و اوره در محلول حل شد. در مرحله‌ی بعد با اضافه کردن قطره قطره آمونیاک H pH در حدود ۹ تنظیم شد. سپس تحت همزن مغناطیسی در دمای ۸۰ درجه‌ی سانتی‌گراد محلول ابتدا به سل و سپس به ژل خیس تبدیل شد. درنهایت نانوذره‌ی مغناطیسی به مدت ۴ ساعت در دمای ۷۰۰ درجه‌ی سانتی‌گراد به طور کامل تکلیس و در شکل و اندازه مناسب تشکیل شد.

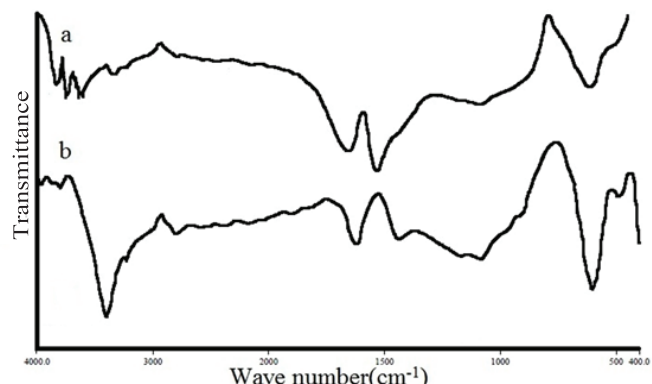
می‌نماید. در ناحیه $1383/71\text{ cm}^{-1}$ باند جذبی مربوط به CH_3 خمши موجود در انتهای نanolوله می‌باشد. نوار جذبی در ناحیه $793/61\text{ cm}^{-1}$ مربوط به ارتعاشات خارج از صفحه C-H موجود در نanolوله می‌باشد. بررسی نشان داد با روش موردنظر، می‌توان نanolوله‌های کربنی را کربوکسیل دار کرد.



شکل ۲ طیف FT-IR: (a) نanolوله‌های کربنی چنددیواره خالص و (b) کربوکسیل دار شده.

نانوذرات مغناطیسی و در طیف b نشانگر عدم تغییر ساختار نانوذرات مغناطیسی در کامپوزیت شدن نانوذرات با نanolوله‌های کربنی می‌باشد. در طیف a باند جذبی در ناحیه 3600 cm^{-1} و 1649 cm^{-1} به ترتیب مربوط به ارتعاشات کششی پیوندهای C=O و O-H موجود در اسید سیتریک و پلی متیل متاکریلات باقی‌مانده در سنتنائزهای مغناطیسی به روش سل-ژل می‌باشد.

در طیف b مربوط به نانوکامپوزیت $\text{Ba}_{0.2}\text{Sr}_{0.2}\text{La}_{0.6}\text{MnO}_3/\text{MWCNT}$ باندهای جذبی در ناحیه‌های 1621 cm^{-1} و 3404 cm^{-1} و 1089 cm^{-1} به ترتیب مربوط به ارتعاشات کششی پیوندهای C-O و O-H و C=O می‌باشد که مربوط به عامل کربوکسیلیک اسید روی نanolوله می‌باشد همچنین باند جذبی در ناحیه 1424 cm^{-1} مربوط به ارتعاش کششی پیوند C-C موجود در نanolوله‌های کربنی عامل‌دار شده می‌باشد که نشانگر عدم تخریب ساختار نanolوله‌ها بعد از کامپوزیت شدن با نانوذرات مغناطیسی می‌باشد.



شکل ۱ طیف FT-IR: (a): نanolوله $\text{Ba}_{0.2}\text{Sr}_{0.2}\text{La}_{0.6}\text{MnO}_3$ و (b): نانوکامپوزیت $\text{Ba}_{0.2}\text{Sr}_{0.2}\text{La}_{0.6}\text{MnO}_3/\text{MWCNT}$

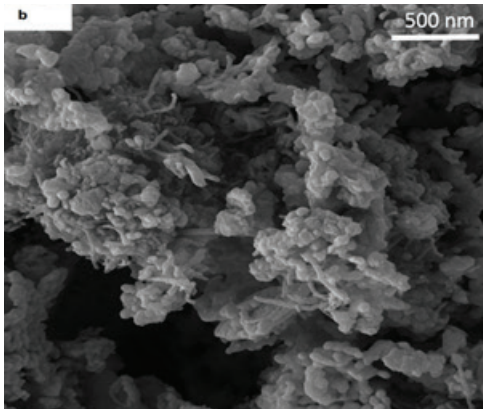
XRD

طیف XRD نanolوله $\text{Ba}_{0.2}\text{Sr}_{0.2}\text{La}_{0.6}\text{MnO}_3$ و نانوکامپوزیت $\text{Ba}_{0.2}\text{Sr}_{0.2}\text{La}_{0.6}\text{MnO}_3/\text{MWCNT}$ در شکل ۳ از زاویه $2\theta=10-80^\circ$ درجه نشان داده شده است. در طیف a پیک در ناحیه $2\theta=26^\circ$ با کارت استاندارد ($10.80^\circ-0.00^\circ-0.26^\circ-10.80^\circ$) مطابقت داشته و از الگوی کریستالی کربن (۰۰۲) پیروی می‌کند. نتایج نشان می‌دهد پوشش نanolوله‌های کربنی توسط نانوذرات مغناطیسی، ساختار نanolوله‌ها را تخریب نکرده است.

در این طیف به علت پوشش نanolوله‌های کربنی توسط نانوذرات مغناطیسی به نسبت وزنی ۱ به ۹ همچنین ساختار کریستالی هگزاگونال نانوذرات مغناطیسی و ساختار پلیمری نanolوله‌ها، پیک نanolوله کربنی از شدت کمتری برخوردار است. این نتایج نشان می‌دهد که روش سل-ژل اصلاح شده تاثیری در شکل کریستالی نانوذرات و تشکیل نانوکامپوزیت ندارد.

پیک‌های نanolوله مغناطیسی در طیف a در زاویه $2\theta=32/65^\circ$ ، $40/22^\circ$ ، $46/79^\circ$ ، $58/13^\circ$ ، (110) ، (202) ، (204) ، (024) ، (030) ، (214) مطابقت کامل داشته و بر کارت استاندارد نanolوله $\text{Ba}_{0.2}\text{Sr}_{0.2}\text{La}_{0.6}\text{MnO}_3$ با شماره

همچنین در شکل ۲ طیف مادون قرمز نanolوله‌های کربنی a و نanolوله‌های کربنی عامل‌دار شده b نشان داده شده است که در طیف a باند جذبی در ناحیه 1200 cm^{-1} مربوط به پیوند ساده‌ی C-C همچنین پیک در ناحیه‌های $3000-2850\text{ cm}^{-1}$ مربوط به ارتعاش کششی پیوند C-H و در ناحیه $1480-1350\text{ cm}^{-1}$ مربوط به ارتعاش خمши پیوند C-H می‌باشد. در طیف نanolوله‌های عامل‌دار شده b نوار جذبی در ناحیه $3438/10\text{ cm}^{-1}$ ارتعاش پیوند O-H موجود در کربوکسیلیک اسید روی نanolوله کربنی را نشان می‌دهد. همچنین باند جذبی در ناحیه $1614/83\text{ cm}^{-1}$ ارتعاش پیوند C=O مربوط به عامل کربوکسیلیک اسید روی نanolوله را تایید



شکل ۴ تصاویر FESEM: (a) نانوذره مغناطیسی $\text{Ba}_{0.2}\text{Sr}_{0.2}\text{La}_{0.6}\text{MnO}_3$ و (b) نانوکامپوزیت / $\text{Ba}_{0.2}\text{Sr}_{0.2}\text{La}_{0.6}\text{MnO}_3$.MWCNT

با توجه به تصاویر می‌توان نتیجه گرفت که با استفاده از روش سل‌ژل می‌توان نانوذره موردنظر را در اندازه مناسب ساخت و با استفاده از روش سل-ژل اصلاح شده می‌توان کامپوزیت نانولوله‌های کربنی با نانوذرات مغناطیسی تهیه کرد.

بررسی خواص مغناطیسی

خواص مغناطیسی نانوکامپوزیت $\text{Ba}_{0.2}\text{Sr}_{0.2}\text{La}_{0.6}\text{MnO}_3$ / MWCNT و نانوذره مغناطیسی $\text{Ba}_{0.2}\text{Sr}_{0.2}\text{La}_{0.6}\text{MnO}_3$ شامل مغناطیش پذیری اشباع (Ms) مغناطیش باقی‌مانده (Mr) و حلقه‌ی پسماند (Hc) در دمای اتاق در میدان $H = 10\text{ kOe}$ در جدول ۱ خلاصه شده است.

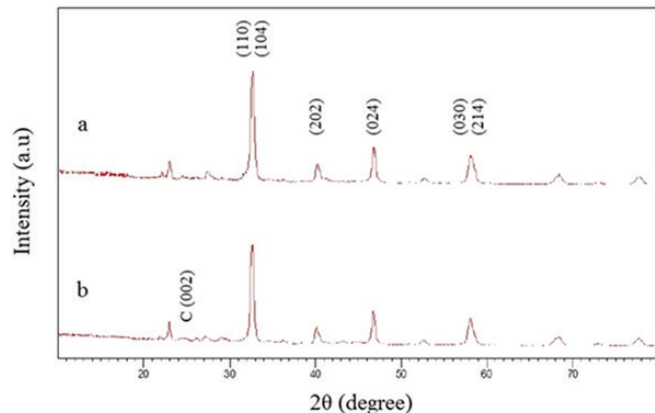
جدول ۱

 بررسی خواص مغناطیسی

$M_s(\text{emu/g})$	$M_r(\text{emu/g})$	$H_c(\text{Oe})$	نمونه
۱۰/۰۱	۰/۳۶	۶/۰۷	$\text{Ba}_{0.2}\text{Sr}_{0.2}\text{La}_{0.6}\text{MnO}_3$
۹/۶۴	۰/۲۰	۱۱/۸۴	$\text{Ba}_{0.2}\text{Sr}_{0.2}\text{La}_{0.6}\text{MnO}_3$ / MWCNT

در شکل ۵ نمودار مغناطیسی $\text{Ba}_{0.2}\text{Sr}_{0.2}\text{La}_{0.6}\text{MnO}_3$ و $\text{Ba}_{0.2}\text{Sr}_{0.2}\text{La}_{0.6}\text{MnO}_3$ / MWCNT نشان داده شده است. کامپوزیت شدن نانوذرات مغناطیسی با نانولوله‌های کربنی باعث کاهش مغناطیش اشباع (Ms) مغناطیس پذیری باقی‌مانده (Mr) و افزایش میدان باقی‌مانده (Hc) شد که می‌توان نتیجه گرفت وجود نانولوله‌های کربنی باعث تغییر در خواص مغناطیسی کامپوزیت شده است. حضور ۱۰٪ وزنی نانولوله‌های کربنی نسبت به نانوذرات مغناطیسی با ایجاد خواص الکتریکی باعث کاهش

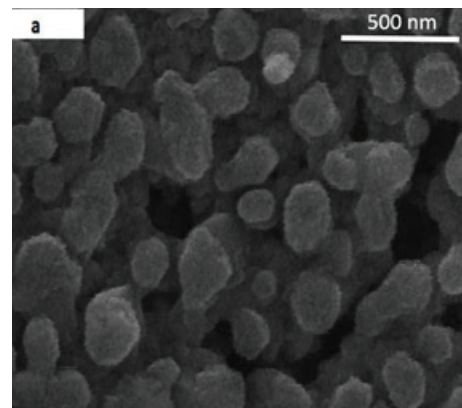
[۷۰۷۶-۰۰۵-۹۸] منطبق بوده و تاییدکننده‌ی تشکیل تک‌فاز نانوذره کریستالی $\text{Ba}_{0.2}\text{Sr}_{0.2}\text{La}_{0.6}\text{MnO}_3$ با ساختار هگزاگونال در دو مرحله سنتز بطور موازی در طیف‌های XRD مربوطه می‌باشد. اندازه‌ی نانوذرات $\text{Ba}_{0.2}\text{Sr}_{0.2}\text{La}_{0.6}\text{MnO}_3$ با استفاده از رابطه شرط بطور میانگین برابر با $21/7$ نانومتر می‌باشد.



شکل ۳ طیف XRD (a) نانوذره $\text{Ba}_{0.2}\text{Sr}_{0.2}\text{La}_{0.6}\text{MnO}_3$ و (b) نانوکامپوزیت $\text{Ba}_{0.2}\text{Sr}_{0.2}\text{La}_{0.6}\text{MnO}_3$ / MWCNT

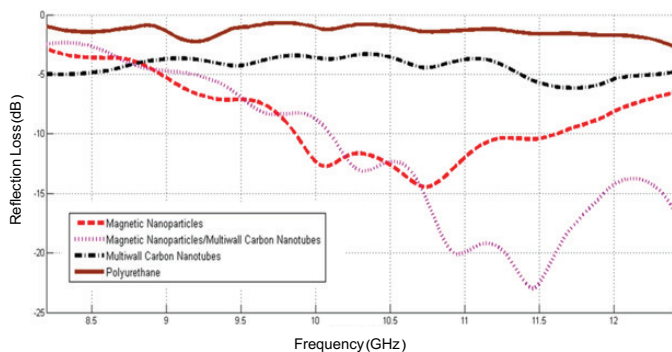
بررسی تصاویر FESEM

تصاویر (FESEM) از نانوذره $\text{Ba}_{0.2}\text{Sr}_{0.2}\text{La}_{0.6}\text{MnO}_3$ و نانوکامپوزیت $\text{Ba}_{0.2}\text{Sr}_{0.2}\text{La}_{0.6}\text{MnO}_3$ / MWCNT در شکل ۴ نشان داده شده است. در تصویر a مورفولوژی یکنواخت نانوذرات $\text{Ba}_{0.2}\text{Sr}_{0.2}\text{La}_{0.6}\text{MnO}_3$ با اندازه میانگین $20-70$ نانومتر مشخص است. کامپوزیت $\text{Ba}_{0.2}\text{Sr}_{0.2}\text{La}_{0.6}\text{MnO}_3$ / MWCNT در تصویر b نشان داده شده است. با توجه به شکل MWCNT در بالایی از MWCNTs توسط نانوذره‌های مغناطیسی درصد بالایی از $\text{Ba}_{0.2}\text{Sr}_{0.2}\text{La}_{0.6}\text{MnO}_3$ پوشانده شده است. قطر نانوکامپوزیت سنتز شده به طور میانگین 100 نانومتر است که رشد 400% را نسبت به MWCNT خالص نشان می‌دهد که 80 نانومتر آن مربوط به نانوذره‌ها می‌باشد.

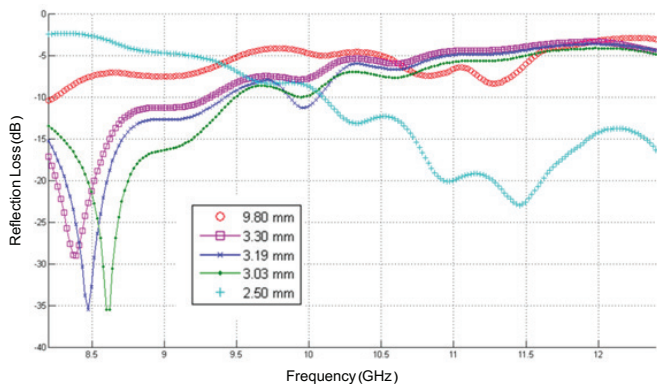


۳،۵ برورسی جذب امواج ریزموچ

در شکل ۶ نمودارهای افت انعکاس در محدوده‌ی فرکانس $8/2-12$ GHz از پلی‌اورتان، نانوذرات مغناطیسی $\text{Ba}_{0.2}\text{Sr}_{0.2}\text{La}_{0.6}\text{MnO}_3$ ، نانولوله‌های کربنی کربوکسیل دار شده و نانوکامپوزیت $\text{Ba}_{0.2}\text{Sr}_{0.2}\text{La}_{0.6}\text{MnO}_3/\text{MWCNT}$ و $\text{Ba}_{0.2}\text{Sr}_{0.2}\text{La}_{0.6}\text{MnO}_3/\text{Polyurethane}$ با ضخامت $2/5$ mm جاذب و در شکل ۷ تاثیر کاهش قطر نانوکامپوزیت $\text{Ba}_{0.2}\text{Sr}_{0.2}\text{La}_{0.6}\text{MnO}_3/\text{MWCNT}$ در جذب امواج ریزموچ نشان داده شده است.



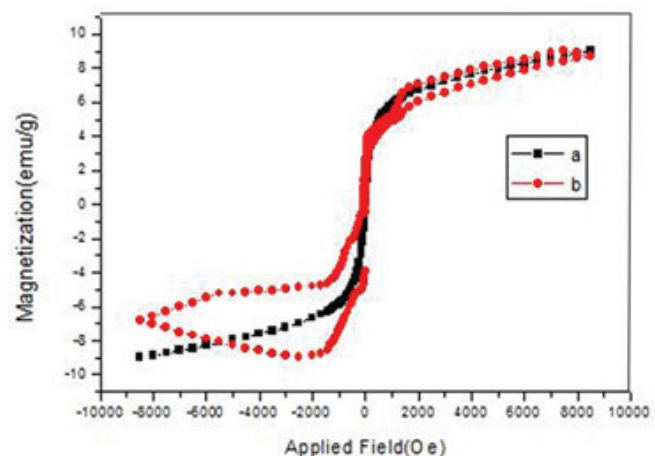
شکل ۶ نمودارهای افت انعکاس از نانوذره $\text{Ba}_{0.2}\text{Sr}_{0.2}\text{La}_{0.6}\text{MnO}_3$ /MWCNT و $\text{Ba}_{0.2}\text{Sr}_{0.2}\text{La}_{0.6}\text{MnO}_3/\text{Polyurethane}$ با قطر $8/2-12/4$ GHz کربنی دار شده و پلی‌اورتان در فرکانس $8/2-12/4$ GHz با ضخامت $2/5$ mm و نسبت 70 درصد وزنی پلی‌اورتان به نانو مواد سنتز شده.



شکل ۷ نمودارهای افتفرکانس از نمونه جاذب نانوکامپوزیت $\text{Ba}_{0.2}\text{Sr}_{0.2}\text{La}_{0.6}\text{MnO}_3/\text{MWCNT}$ با قطرهای مختلف در فرکانس $8/2-12/4$ GHz با نسبت 70 درصد وزنی پلی‌اورتان به نانو مواد سنتز شده.

درصد جذب ریزموچ طبق رابطه $\text{Absorption\%} = 1 - 10^{\left(\frac{RL}{10}\right)}$ قابل محاسبه است. نتایج نشان می‌دهد که نمونه‌ی جاذب با قطر $2/5$ mm از نانوذره $\text{Ba}_{0.2}\text{Sr}_{0.2}\text{La}_{0.6}\text{MnO}_3$ بیشینه افت انعکاس $14/46$ dB (۹۶/۴۲٪ جذب امواج) در فرکانس

خواص مغناطیسی و افزایش حلقه پیماند نانوکامپوزیت می‌شود، ازین رو کاهاش این خواص قابل انتظار است. ولی کم بودن میزان خواص مغناطیسی را می‌توان به کیفیت مناسب تشکیل نانوذرات در سطح نانولوله‌های کربنی و پوشش کامل نانولوله‌ها در روش سل-ژل اصلاح شده نسبت داد همچنین حضور نانولوله‌های کربنی عامل دار شده، خود بعنوان پخش‌کننده نانوذرات هنگام کامپوزیت شدن باعث بهبود تشکیل کیفیت نانوذرات در سطح خود می‌شود. به طورکلی با توجه به حضور 10 درصد وزنی نانولوله‌های کربنی به نانوذرات با افزایش خواص الکترونیکی کاهش اندک خواص مغناطیسی Ms و Mr و افزایش Hc قابل پیش‌بینی بود.



شکل ۵ (a) نانوذره مغناطیسی $\text{Ba}_{0.2}\text{Sr}_{0.2}\text{La}_{0.6}\text{MnO}_3$ و (b) نانوکامپوزیت $\text{Ba}_{0.2}\text{Sr}_{0.2}\text{La}_{0.6}\text{MnO}_3/\text{MWCNT}$

در تمامی مراحل سنتز نانوکامپوزیت / MWCNT با توجه به میدان اعمالی باقی‌مانده و پارامترهای مغناطیسی، خواص پارامغناطیس برای ماده قابل پیش‌بینی است. این مواد که به مقدار اندکی توسط یک میدان مغناطیسی جذب می‌شوند پس از قطع میدان، حالت مغناطیسی خود را حفظ نمی‌کنند زیرا با قطع میدان، حرکت گرمایی موجب جهت گیری تصادفی اسپین‌ها می‌شود. ویژگی‌های پارامغناطیس بدليل وجود برخی از الکترون‌های جفت نشده و آرایش جدید مسیرهای الکترونی است که به دلیل میدان مغناطیسی خارجی بوجود می‌آیند. پارامغناطیس شکلی از خاصیت مغناطیسی مواد است که به واسطه آن برخی از مواد به وسیله‌ی میدان خارجی اعمال شده جذب می‌شوند.

شده را با نانوذرات مغناطیسی پوشاند. حضور نانولوله‌های کربنی با افزایش خاصیت دی‌الکتریک در کنار نانوذرات با خاصیت مغناطیسی باعث افزایش بیشینه جذب امواج ریزموچ و پهنه‌ی باند جذب می‌شود. در نهایت نتایج و بررسی‌های به عمل آمده در این تحقیق بیانگر این است که با استفاده از نانولوله‌های کربنی می‌توان کامپوزیت‌های پلیمری با خاصیت مغناطیسی و رسانایی تهیه کرد که برای جذب امواج ریزموچ در ناحیه ۸/۲-۱۲ GHz بسیار مناسب است.

۱۰/۷۴ GHz دارد و در این ناحیه با پهنه‌ی باند ۱/۷۲ GHz جذب بیش از ۱۰ dB را از خود نشان داد. همچنین نانوکامپوزیت $\text{Ba}_{0.2}\text{Sr}_{0.2}\text{La}_{0.6}\text{MnO}_3/\text{MWCNT}$ با همین قطر جذب ۲۲/۹۷ dB (۹۹/۴۹٪ جذب امواج) در فرکانس ۱۱/۴۵ GHz و پهنه‌ی باند ۲/۹۲ GHz جذب بیش از ۱۰ dB داشت، بیش‌ترین جذب ۳۵/۵۴ dB (۹۹/۹۷٪ جذب امواج) مربوط به نانوکامپوزیت $\text{Ba}_{0.2}\text{Sr}_{0.2}\text{La}_{0.6}\text{MnO}_3/\text{MWCNT}$ با قطر ۳/۱۹ mm در فرکانس ۸/۴۷ GHz با پهنه‌ی باند ۱/۳۹ GHz بیش از ۱۰ dB در ناحیه X بود، پلی‌اورتان به عنوان بستر برای قالب‌گیری جذب چندانی نداشت (در حدود ۲ dB در ناحیه X) که می‌توان به خاصیت الکتریکی آن نسبت داد.

با کاهش قطر جاذب مایکروسیم جذب (RL) به سمت فرکانس بیش‌تر حرکت کرد که علت این موضوع را می‌توان تغییر در ظرفیت خازنی نمونه جاذب دانست، از طرفی حضور ۱۰ درصد وزنی نانولوله‌های عامل دار شده با ساختار توخالی به عنوان پخش‌کننده باعث افزایش کیفیت ساختار نانوذرات شد و افزایش خاصیت الکتریکی کامپوزیت در حضور نانولوله‌های کربنی از طرفی دیگر باعث افزایش بیشینه و پهنه‌ی باند جذب امواج ریزموچ شد و حرکت بیشینه جذب از فرکانس ۱۰/۷۴ GHz به ۱۱/۴۵ GHz در شکل ۶ را می‌توان به کاهش ۱۰ درصد وزنی نانوذرات مغناطیسی نسبت داد.

۴ نتیجه‌گیری

در این تحقیق با بکارگیری مجموعه‌ای از عناصر به همراه تقویت توسط نانولوله‌ی کربنی سعی شد تا به جذب مناسب در ناحیه x امواج ریزموچ رسید. با توجه به آنالیز XRD نانوذرات با سایز و شکل کریستالی مناسب بر روی نانولوله‌ها تشکیل شد همچنین بررسی تصاویر FESEM نشان داد نانوذرات در سایز مناسب و یکنواخت تشکیل شد و نانوذرات به خوبی سطح نانولوله‌کربنی را پوشاند. نتایج حاصل از FTIR نیز تاییدی بر حضور نانوذرات بر سطح نانولوله‌های کربنی کربوکسیل دار شده، داشت. با توجه به خواص مغناطیسی VSM کامپوزیت تهیه شده، رفتار مغناطیسی قابل قبولی داشت. در نهایت بررسی جذب امواج مغناطیسی نشان داد نانوذره و نانوکامپوزیت مغناطیسی در محدوده‌ی مناسب به مقدار مورد توجهی جذب داشت و نانولوله‌ی کربنی باعث تقویت جذب امواج الکترومغناطیسی شد. با توجه به نتایج بدست‌آمده می‌توان نتیجه گرفت که به روش سل-ژل اصلاح شده می‌توان نانولوله‌های کربنی عامل دار

مراجع

- [1] D. Micheli, C. Apollo, R. Pastore, R. B. Morles, S. Laurenzi, M. Marchetti, "Nanostructured composite materials for electromagnetic interference shielding applications," *Acta Astronautica*, vol. 69, pp. 747–757, 2011.
- [2] Y. H. Kim, S. J. Park, "Roles of nanosized Fe₃O₄ on supercapacitive properties of carbon nanotubes," *Current Applied Physics*, vol. 11, pp. 462–466, 2011.
- [3] G. X. Tong, W. H. Wu, J. G. Guan, H. S. Qian, J. H. Yuan, W. Li, "Synthesis and characterization of nanosized urchin-like α-Fe₂O₃ and Fe₃O₄: Microwave electromagnetic and absorbing properties," *Journal of Alloys and Compounds*, vol. 509, pp. 4320–4326, 2011.
- [4] D. D. L. Chung, "Electromagnetic interference shielding effectiveness of carbon materials," *Carbon*, vol. 39, pp. 279–285, 2001.
- [5] Y. Z. Fan, H. B. Yang, X. Z. Liu, H. G. Zhu, G. G. Zou, "Preparation and study on radar absorbing materials of nickel-coated carbon fiber and flake graphite," *Journal of Alloys and Compounds*, vol. 461, pp. 490–494, 2008.
- [6] N. Q. Zhao, T. C. Zhou, C. S. Shi, J. J. Li, W. K. Guo, "Microwave absorbing properties of activated carbon-fiber felt screens (vertical-aranged carbon fibers)/epoxy resin composites," *Materials Science and Engineering*, vol. 127, pp. 207–211, 2006.
- [7] Y. C. Qing, W. C. Zhou, S. Jia, F. Luo, D. M. Zhu, "Electromagnetic, microwave absorption properties of carbonyl iron and carbon fiber filled epoxy/silicone resin coatings," *Applied Physics A*, vol. 100, pp. 1177–1181, 2010.
- [8] X. L. Liu, "Study on microwave-absorbing behavior of multi-walled CNTs," *Modern Applied Science*, vol. 4, no. 9, pp. 124–129, 2010.
- [9] D. Micheli, C. Apollo, R. Pastore, M. Marchetti, "X-Band microwave characterization of carbon-based nanocomposite material, absorption capability comparison and RAS design simulation," *Composites Science and Technology*, vol. 70, pp. 400–409, 2010.
- [10] J. B. Kim, S. K. Lee, C. G. Kim, "Comparison study on the effect of carbon nano materials for single-layer microwave absorbers in X-band," *Composites Science and Technology*, vol. 68, pp. 2909–2916, 2008.
- [11] L. J. Deng, M. G. Han, "Microwave absorbing performances of multiwalled carbon nanotube," *Applied Physics Letters*, vol. 91, 2007.
- [12] Lirong kong, xiaofeng Lu, Wanjin zhang, "Facile synthesis of multifunctional multiwalled carbon nanotubes /Fe₃O₄ nanoparticles / polyaniline composite nanotubes." *Journal of Solid State Chemistry*, vol. 181, no. 3, pp. 628–636, March 2008.
- [13] V. M. Petrov, V. V. Gagulin, "Microwave absorbing materials," *Inorganic Materials*, vol. 37, vol. 2, pp. 93–98, 2001.
- [14] I. M. De Rosa, A. Dinescu, F. Sarasini, M. S. Sarto, "Effect of short carbon fibers and MW-CNTs on microwave absorbing properties of polyester composites containing nickel-coated carbon fibers," *Composites Science and Technology*, vol. 70, pp. 102–109, 2010.
- [15] K. Cui, Y. Cheng, J. Dai, J. Liu, Synthesis, "characterization and microwave absorption properties of La_{0.6}Sr_{0.4}MnO₃/polyaniline composite," *Materials Chemistry and Physics*, vol. 138, pp. 810-816, 2013.
- [16] http://www.civilica.com/Paper-BSNA-NO03-BSNANO03_067.html
- [17] Z. De-xu, L. Qiao-ling, Y. Yun, Z. Cun-rui, "Synthesis and characterization of carbon nanotubes decorated with strontium ferrite nanoparticles," *Synthetic Metals*, vol. 160, pp. 866–870, 2010.
- [18] A. Ghasemi, "Remarkable influence of carbon nanotubes on microwave absorption characteristics of strontiumferrite/CNT nanocomposites," *Journal of Magnetism and Magnetic Materials*, vol. 323, pp. 3133–3137, 2011.
- [19] A. Ghasemi, V. Sepelak, X. Liu, A. Morisako, "Structural, Microwave, and Magnetic Properties of Self-Assembled Substituted Strontium Ferrite Dot Array on Multiwall Carbon Nanotubes," *IEEE TRANSACTIONS ON MAGNETICS*, vol. 48, no. 11, pp. 3474-3477, 2012
- [20] G. Mu, N. Chen, X. Pan, H. Shen, M. Gu, "Preparation and microwave absorption properties of barium ferrite Nano rods," *Materials Letters*, vol. 62, pp. 840–842, 2007.



Preparation and Investigation of Structural, Magnetic and Microwave Absorption Properties of $\text{Ba}_{0.2}\text{Sr}_{0.2}\text{La}_{0.6}\text{MnO}_3/\text{MWCNT}$ Nanocomposite in Comparison with $\text{Ba}_{0.2}\text{Sr}_{0.2}\text{La}_{0.6}\text{MnO}_3$ in X-band Region

S.S. Seyyed Afghahii^{1*} | R. Peymanfar^{2,3} | S. Javanshir² | A. Javidan^{4,5}

1. Department of Engineering, Faculty of Materials Science and Engineering, Imam Hossein University, Tehran, Iran

2. Department of Chemistry, Iran University of Science and Technology, Tehran, Iran

3. Young Researchers and Elite Club, Saveh Branch, Islamic Azad University, Saveh, Iran

4. Department of Basic Sciences, Imam Hossein University, Tehran, Iran

5. Pharmaceutical Sciences Branch, Islamic Azad University, Tehran, Iran.

Abstract

In this research, MWCNT-based nanohybrids made of functionalized multi-walled carbon nanotubes with multi-element magnetic nanocomposites $\text{Ba}_{0.2}\text{Sr}_{0.2}\text{La}_{0.6}\text{MnO}_3/\text{MWCNT}$ were prepared and used to strengthen the intensity and absorbing frequency bandwidth and maximum microwaves absorption in X-band. Initially $\text{Ba}_{0.2}\text{Sr}_{0.2}\text{La}_{0.6}\text{MnO}_3$ NPs was synthesized by sol-gel method. Afterwards, the MWCNT was functionalized with carboxylic functional group by acid treating in a mixture of sulfuric/nitric acid in 3:1 ratio (V/V) using ultrasonic irradiation and mechanical stirring simultaneously. The functionalized MWCNT was then coated with these NPs using poly methyl methacrylate (PMMA) in an argon atmosphere furnace. The crystal structures and morphology of synthesized nanoparticles and suitable coating of carbon nanotubes with these nanoparticles were characterized and confirmed by FESEM, XRD, VSM, FTIR analysis. Finally absorbent samples were prepared by dispersion of magnetic NPs and nanocomposite in polyurethane in an ultrasonic bath and the absorption or reflection loss for absorbing samples was investigated at the frequency range of 8.2 – 12.4 GHz.

The maximum reflection loss of $\text{Ba}_{0.2}\text{Sr}_{0.2}\text{La}_{0.6}\text{MnO}_3$ NPs was -14.46 dB at 10.74 GHz with a bandwidth of 1.72GHz (more than -10 dB) and the maximum reflection loss for $\text{Ba}_{0.2}\text{Sr}_{0.2}\text{La}_{0.6}\text{MnO}_3/\text{MWCNT}$ nanocomposite was -22.97 dB at 11.45GHz with a bandwidth of 2.29GHz (more than -10dB). These results indicated that albeit $\text{Ba}_{0.2}\text{Sr}_{0.2}\text{La}_{0.6}\text{MnO}_3$ NPs has its own microwave absorption properties and could be a good absorber in X-band, but the microwave absorption properties of the hybrid $\text{Ba}_{0.2}\text{Sr}_{0.2}\text{La}_{0.6}\text{MnO}_3/\text{MWCNT}$ nanocomposites are significantly enhanced.

Keywords

Microwave absorbant, Sol-gel, Magnetic nanocomposite, Carbon nanotube.